



## افزایش یونیزاسیون در محفظة یونش کوچک شده دستگاه IMS

### با ایجاد روکش نازک بر روی چشمی یونیزاسیون Am-241

محسن صالح کوتاهی<sup>\*</sup>، فیروز پایروند<sup>۱</sup>، علیرضا توسلی<sup>۱</sup>

۱- گروه فیزیک، دانشکده علوم، دانشگاه صنعتی خواجه نصیرالدین طوسی، صندوق پستی: ۱۶۳۱۵-۱۶۱۸، تهران- ایران

۲- مرکز تحقیقات و تولید آشکارسازها، مجتمع تحقیق و توسعه شهید مبینی، صندوق پستی: ۳۱۵۸۵-۴۴۱۳، کرج- ایران

**چکیده:** یکی از هدفهای مهم در آشکارسازی عاملهای شیمیایی، ساخت دستگاههایی است که ضمن برخوردار بودن از سرعت عمل و دقّت کافی، قابلیت ساخته شدن در ابعاد و اندازه‌های کوچک را داشته باشد تا در شرایط عملیاتی مختلف کارآی آنها حفظ گردد و برای حمل باشند. در این مقاله، از این پدیده که «قابلیت یونیزاسیون ویژه ذرات آلفا با کاهش انرژی آنها افزایش می‌یابد» استفاده گردیده و در مورد کوچکسازی محفظة یونش دستگاه آشکارساز عاملهای شیمیایی (IMS)، پیشنهاد شده است که یک روکش نازک بر روی چشمی یونیزاسیون Am-241 قرار داده شود تا انرژی ذرات آلفای خروجی از چشمی کاهش یافته و در نتیجه، میزان یونش ویژه آنها افزایش یابد. در اثر این کار، افت یونیزاسیون حاصل از کاستن طول محفظة یونش دستگاه، تا حدود زیادی جبران می‌شود. اثر ایجاد روکش روی چشمی لخت ۲۴۱-Am، بر مقدار یونیزاسیون حاصل از چشمی بصورت تئوری پیش‌بینی شده است. در مورد دو چشمی دیگر که دارای روکش اولیه بودند، محاسبات با استفاده از توزیع انرژی مربوط صورت گرفته و اثر ایجاد یک روکش از جنس میلار، در میزان یونیزاسیون حاصل از آنها نیز بررسی شده است. در هر دو مورد نتایج نشان می‌دهند که ایجاد روکش موجب افزایش نسبی مقدار یونیزاسیون در محفظة یونش دستگاه و در نتیجه افزایش توان آن در شناسایی و تفکیک عاملهای شیمیایی گوناگون می‌شود.

**واژه‌های کلیدی:** دستگاه طیف‌سنجی تحرک یونی، چشمی یونش امرسیوم ۲۴۱، ذرات آلفا، توان توقف، میلار،  
محفظه‌های یونش

## Ionization Increase in Miniaturized IMS Cell Using a Thin Layer on Am-241 Ionization Source

M. Salehkoutahi<sup>\*</sup>, F. Payervand<sup>2</sup>, A. Tavassoli<sup>1</sup>

1- Physics Group, Faculty of Science, K.N. Toosi University, P.O. Box: 1618 -16315, Tehran- Iran

2- Detectors Research and Production Center, Meisami Research and Development Center, P.O. Box: 31585 -4413, Karaj- Iran

**Abstract:** One of the important goals in chemical agent detection is to construct an instrument with a fast response, to be handled easily, and to be used in various operational conditions. In this paper, based on the phenomenon of “increasing the specific alpha particles ionization rate by decreasing the particles energy” a suggestion has been made for reducing the size of the ionization chamber of an IMS detection system, where a thin layer was placed on the surface of Am-241 ionizing source for decreasing the emitted alpha particles energy. With this method, to some extent, the rate of ionization loss has been compensated. The effect of layer over the Am-241 source on the ionization rate has been predicted theoretically, as well. For the other two sources with the initial coated layers, a calculation has been performed with the use of the related energy distribution; and the effect of a layer, of the Mylar type, on the ionization rate has also been investigated. The results of both cases have shown that the layer will cause to increase the ionization rate in the ionization chamber, where it subsequently increases the capability of the instrument, and the system resolution power for detecting various chemical agents.

**Keywords:** ion mobility spectrometer instrument, Am-241 ionization source, alpha particles, stopping power, mylar, ionization chambers

\*email: Salehkoutahi@Science.kntu.ac.ir

تاریخ دریافت مقاله: ۱۳۸۳/۱۰/۲۲ تاریخ پذیرش مقاله: ۱۳۸۴/۴/۵

www.SID.ir

## ۱- مقدمه

## Archive of SID

در دستگاه IMS فرایند یونیش طی دو مرحله صورت می‌گیرد. در مرحله اول مولکولهای گاز حامل به دلیل غلظت بیشتری که دارند (حدود یک میلیون برابر) توسط چشمۀ یونیزاسیون، یونیزه می‌شوند که به آن یونیزاسیون اولیه می‌گویند. در مرحله دوم در اثر برخورد یونهای گاز حامل با مولکولهای نمونه این مولکولها باردار می‌شوند که به آن تشکیل یونهای محصول می‌گویند. مولکولهای باردار تحت تأثیر میدان الکتریکی اعمال شده، به سوی شبکه بندآور حائل بین محفظه واکنش و محفظه رانش حرکت می‌کنند و سریعاً به سرعت نهایی می‌رسند. پتانسیل اعمالی به شبکه بندآور چنان تنظیم می‌شود که بطور متناسب برای مدت زمان بسیار کوتاهی (در حد  $\mu\text{s}$  ۲۰۰) به گروهی از یونها اجازه عبور از محفظه واکنش به محفظه رانش می‌دهد. در محفظه رانش نیز تحت تأثیر میدان الکتریکی، یونها به سوی کلکتور کشیده می‌شوند.

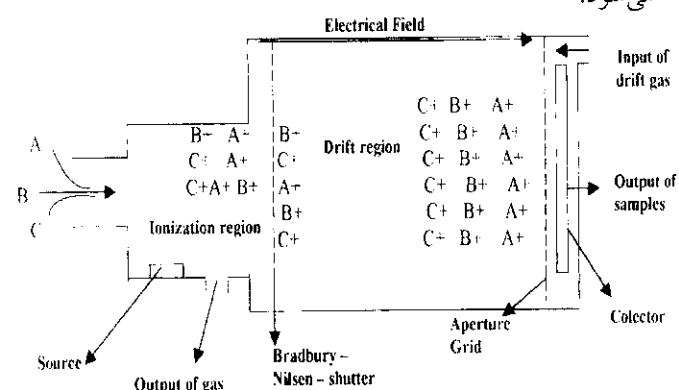
با توجه به اینکه زمان رسیدن یونها به صفحۀ کلکتور توسط خاصیت تحرک یون در گاز رانش (گاز غیریونیزه پرکننده محفظه رانش) تعیین می‌شود، می‌توان با مشخص کردن مدت زمان بین ورود یون به ناحیه رانش و رسیدن آن به صفحۀ کلکتور، یونهای مختلف را از هم تمیز داد.

یکی از چشمۀای متدالوی برای ایجاد یونیش اولیه در محفظه یونیش دستگاه آشکارساز عامل‌های شیمیایی IMS، چشمۀ یونیزاسیون Am-241 است [۲]. امرسیوم، ذرات آلفا با انرژی حدود  $5/5 \text{ MeV}$  تابش می‌کند [۳]. بُرد این ذرات در هواء، حدود  $4 \text{ cm}$  است. به همین دلیل طول محفظه واکنش این دستگاهها را حدود  $4 \text{ cm}$  انتخاب می‌کنند تا بیشترین بهره‌برداری از انرژی چشمۀ بعمل آید. حال اگر برای کوچک کردن دستگاه، لازم باشد که طول محفظه واکنش کاهش یابد، ذرات آلفا در انتهای مسیرشان، از محفظه واکنش خارج شده و مقداری از انرژیشان را با خود به بیرون انتقال می‌دهند. در اثر این کیفیت، مقدار یونیزاسیون در محفظه کاهش می‌یابد و در نتیجه، توانایی دستگاه در تفکیک و شناسایی عوامل شیمیایی گوناگون، کاهش خواهد یافت. اما به کمک شکل ۲ می‌توان این کاهش یونیزاسیون را تا حدودی جبران کرد. نمودار توان توقف<sup>(۴)</sup> (آفت انرژی در واحد طول) ذرات آلفا بر حسب انرژی در این شکل نشان داده شده است [۴].

از جمله اهداف مهم در آشکارسازی عامل‌های شیمیایی، ساخت دستگاههایی است که در عین حال که از سرعت عمل و دقیقی برخوردارند، قابلیت ساخت در ابعاد و اندازه‌های کوچک را داشته باشند تا در شرایط عملیاتی مختلف کارآیی آنها حفظ شود (مثلًا برای توسعه شخص حمل شوند). یکی از فنون آشکارسازی عامل‌های شیمیایی استفاده از روش طیف‌سنج تحرک یونی<sup>(۱)</sup> است. اجزای اصلی دستگاه طیف‌سنج تحرک یونی [۱] عبارتند از: محفظه واکنش یون - مولکول، چشمۀ یونیزاسیون متصل به محفظه واکنش، محفظه رانش، شبکه بندآور<sup>(۲)</sup> واقع بین محفظه واکنش و محفظه رانش، شبکه محفظه<sup>(۳)</sup> و کلکتور.

در شکل ۱ ساختار پایه‌ای یک طیف‌سنج تحرک یونی با نواحی واکنش و رانش، صفحۀ جمع آوری داده‌ها و مسیر جريان گاز نشان داده شده است.

در طیف‌سنج‌های تحرک یونی، جريان گاز حامل (عموماً هوا یا نیتروژن)، گازها یا بخارهای مواد مورد آنالیز را به درون طیف‌سنج تحرک یونی انتقال می‌دهد. در محفظه واکنش، مولکولهای گاز حامل و نمونه به سلله چشمۀ یونیزاسیون، یونیزه می‌شوند. عموماً از چشمۀای رادیوآکتیو بتازا یا آلفا زرا برای یونیزاسیون استفاده می‌شود. به دلیل تعداد بسیار زیاد مولکولهای گاز حامل نسبت به مولکولهای نمونه، یونهای تولید شده تقریباً همگی از مولکولهای گاز حامل می‌باشند. چون پویش آزاد میانگین یونی چندین بار کوچکتر از ابعاد محفظه واکنش است، بین یونهای تشکیل شده و مولکولهای نمونه چندین برخورد روی می‌دهد و در این برخوردها بار یونها به مولکولهای نمونه منتقل می‌شود.



شکل ۱- ساختار پایه‌ای یک طیف‌سنج تحرک یونی.  
www.SID.ir



## Archive of SID

در این رابطه،  $r_i$  مسافت پیموده شده توسط ذره آلفای  $\text{Am}$ ،  $R_i$  بُرد این ذره در هوا،  $L$  طول محفظه یونش استوانه‌ای،  $a$  شعاع آن و  $b$  فاصله محل خروج ذره آلفا از مرکز چشمهاست. انتگرال‌گیری باید روی مسیر حرکت ذره انجام شود. مسیر یونش یک ذره آلفای دلخواه در شکل ۳ نشان داده شده است.

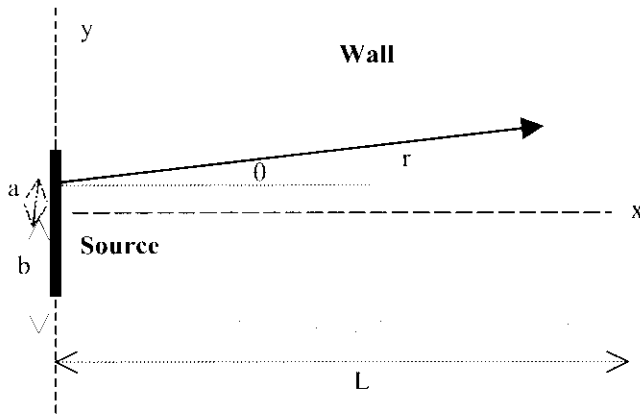
در محاسبه انتگرال رابطه (۱) قیدهای زیر اعمال می‌شود.

$$\begin{cases} r < R(E_0) \\ x = r \cos \theta < L \\ y = r \sin \theta < b - a \end{cases}$$

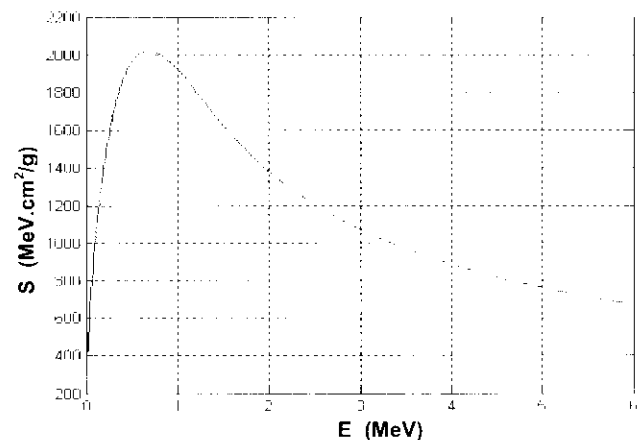
$R(E_0)$  بُرد ذره آلفا با انرژی  $E_0$  است. این قید برای آنست که بیشترین طولی که یک ذره می‌تواند پیماید، بُرد ذره است. قید دوم از آن جهت اعمال می‌شود که یونش ذرات آلفا در خارج از محفظه یونش، تأثیری بر میزان یونش نخواهد داشت. قید سوم به این علت است که ذره آلفا، پس از برخورد به دیواره محفظه یونش، متوقف می‌شود و دیگر در فرایند یونش نقشی ندارد. با فرض اینکه تابش آلفا همسانگرد است، ذرات آلفا در تمام زاویه‌های  $0 < \theta < \pi/2$  با احتمال مساوی پراکنده می‌شوند. در این حالت، احتمال پراکنده شدن پرتوهای آلفای خروجی در زاویه بین  $\theta$  و  $\theta + d\theta$  برابر خواهد بود با:

$$P(\theta)d\theta = \cos\theta.d\theta \quad (2)$$

برای بدست آوردن انرژی واگذار شده توسط همه ذرات، باید از رابطه ۱ روی توزیع زاویه‌ای و توزیع انرژی، همچنین روی سطح چشم انتگرال گرفت. چشم مورد آزمایش، مستطیلی به



شکل ۳- مسیر یونش یک ذره آلفای دلخواه در محفظه یونش IMS.



شکل ۲- توان توقف ذرات آلفا بر حسب انرژی.

این نمودار نشان می‌دهد ذراتی که انرژی آنها بین ۰ تا ۲ MeV است، بیشترین سهم را در ایجاد یونش درون محفظه واکنش دارند؛ این ذرات مسافتی حدود ۳۰ میلی‌متر را در محفظه واکنش می‌پیمایند. چنانچه نیاز باشد طول محفظه واکنش را به ۳۰ میلی‌متر برسانیم، قسمت عمده یونش، در بیرون محفظه انجام شده و به هدر می‌رود. در این صورت، اگر با ایجاد یک روکش مناسب بتوان انرژی ذرات آلفا را کاهش داده و بُرد آنها را به حدود ۳۰ میلی‌متر رساند، قله نمودار توان توقف (شکل ۲)، دوباره درون محفظه یونش قرار می‌گیرد و افت یونیزاسیون، تا حدود زیادی جبران می‌شود.

در این پژوهش اثر یک روکش نازک از جنس میلار<sup>(۵)</sup> به ضخامت جرمی  $4/\text{mg/cm}^2$  بر میزان یونش ناشی از ذرات آلفای خروجی از چشمی یونیزاسیون ۲۴۱-Am، بررسی شده است |۵|. از نتایج حاصل استنباط می‌شود که ایجاد روکش مناسب باعث افزایش نسبی مقدار یونیزاسیون در محفظه یونش دستگاه IMS می‌گردد.

### ۳- محاسبه مقدار یونیزاسیون در محفظه یونش IMS

مقدار یونیزاسیون (تعداد زوج یونهای تولید شده) در محفظه یونش، متناسب با انرژی واگذار شده از ذرات آلفای خروجی از چشمی، به هوای درون محفظه است. انرژی واگذار شده توسط ذره آلفای  $\text{Am}$  به هوای درون محفظه یونش، از رابطه ۱ حساب می‌شود.

$$\Delta E_i = \int_{r < R_i, r \cos \theta < L, r \sin \theta < b-a} \left( -\frac{dE}{dr} \right)_i dr$$



بُرد ذرات آلفای با انرژی  $E=5/5 \text{ MeV}$ ,  $42 \text{ میلی متر می باشد.}$

بنابراین ذرات آلفا، تقریباً بیشترین انرژی ممکن را به هوای درون محفظه یونش  $4 \text{ سانتی متری و اگذار می کنند.}$  به فرض اینکه بخواهیم طول محفظه یونش را تا  $L=30 \text{ mm}$  کوتاه کنیم، ذرات آلفای با انرژی  $5/5 \text{ MeV}$  پس از پیمودن این مسافت در محفظه یونش، دارای انرژی  $2/2 \text{ MeV}$  خواهند شد. با کوتاه کردن محفظه یونش، انرژی و اگذار شده توسط تک تک ذرات آلفا به هوای درون محفظه یونش، برابر خواهد بود با :

$$\Delta E_\theta = 5.5 - 2.2 = 3.3 \text{ MeV}$$

اگر بجای این کار، لایه نازکی از یک ماده در برابر چشم قرار گیرد تا بُرد ذرات آلفای خروجی از چشم به  $30 \text{ mm}$  برسد، انرژی ذرات آلفای خروجی از لایه به  $4/4 \text{ MeV}$  خواهد رسید. انرژی و اگذار شده در این حالت، برابر با  $\Delta E = 4/4 \text{ MeV}$  خواهد بود. بنابراین، اگر همزمان با کوچکسازی محفظه یونش، از روکش نازک برای چشم نیز استفاده شود، مقدار درصد افزایش نسبی انرژی و اگذار شده به محفظه یونش ( $R$ ) برابر خواهد بود با :

$$R = \frac{\Delta E - \Delta E_0}{\Delta E_0} \times 100 = \frac{4.4 - 3.3}{3.3} \times 100 = 33.3 \%$$

این مقدار درصد قابل توجهی است و نشاندهنده موفقیت روش پیشنهادی برای افزایش مقدار یونیزاسیون به هنگام کوتاهسازی سلول IMS می باشد.

در این تحلیل، فرض بر اینست که همه ذرات آلفا در امتداد محور محفظه یونش حرکت می کنند. در عمل باید یک توزیع فضایی برای حرکت ذرات آلفا در نظر گرفته شود. با در نظر گرفتن این توزیع فضایی، انرژی و اگذار شده از طرف ذرات آلفا به محفظه یونش، از رابطه ۳ بدست خواهد آمد. برای چشممهای که تعداد ذرات آلفای خروجی از سطح  $1 \text{ mm}$  آن برابر یک است، نتیجه زیر برای کوچکسازی محفظه یونش تا  $30 \text{ mm}$  بدست خواهد آمد:

$$\Delta E_0 = 355.3(\text{MeV/s}), \Delta E = 456.5(\text{MeV/s})$$

$$\therefore R = 28.5\%$$

با همین تحلیل که برای کوچکسازی محفظه یونش تا  $L = 30 \text{ mm}$  انجام شد، می توان افزایش نسبی پاسخ دستگاه IMS

ابعاد  $22 \text{ mm} \times 10 \text{ mm}$  است. پس انرژی و اگذار شده به محفظه یونش، در واحد زمان برابر خواهد بود با :

$$\Delta E = \int_{0-0}^{\pi/2} \int_{\text{Spectrum}}^{\text{11}} \int_{r < R_j, r \cos \theta < L, r \sin \theta < b-a}^{\text{5}} \dots n_s \left( -\frac{dE}{dr} \right) dr \cdot \cos \theta \cdot d\theta \cdot dz' \cdot dy' \quad (3)$$

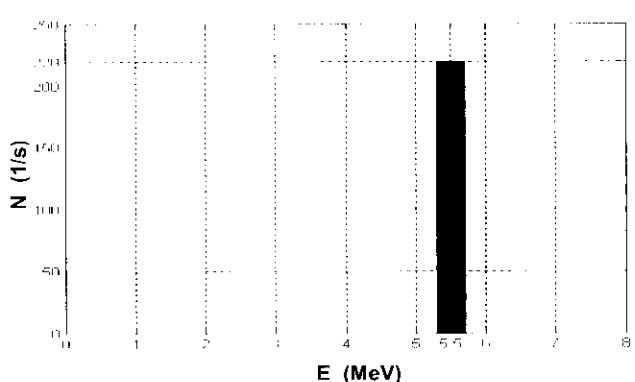
در این رابطه،  $n_s$  تعداد ذرات آلفای خروجی از واحد سطح چشم، در واحد زمان است که برابر یک فرض می شود. برای MATLAB محاسبه این انتگرال، برنامه ای کامپیوتری به زبان Energy Deposition.m تحت عنوان Energy Deposition نوشته شد. تمامی اعدادی که تحت عنوان انرژی و اگذار شده از چشم به محفظه یونش، در ادامه آورده می شوند، خروجی های این برنامه هستند.

### ۳- ایجاد روکش روی چشم Am-241 و کوچکسازی محفظه یونش دستگاه IMS

در این بخش، اثر ایجاد روکش نازک روی چشم یونیزاسیون Am-241، بر مقدار یونیزاسیون در محفظه یونش IMS بررسی شده است. محفظه یونش مورد بحث، استوانه ای به طول  $40 \text{ mm}$  و قطر  $27 \text{ mm}$  است.

#### ۱- کوچکسازی محفظه یونش IMS با چشم لخت

اگر چشم Am-241 مورد استفاده، بدون روکش باشد، توزیع انرژی ایده آل ذرات آلفا، تقریباً به صورت شکل ۴ خواهد بود (اما در عمل یک نوع توزیع انرژی وجود دارد که در ادامه مطلب به نمونه هایی از آن پرداخته خواهد شد). در این شکل،  $N$  تعداد ذرات آلفای خروجی از سطح چشم، در واحد زمان است.

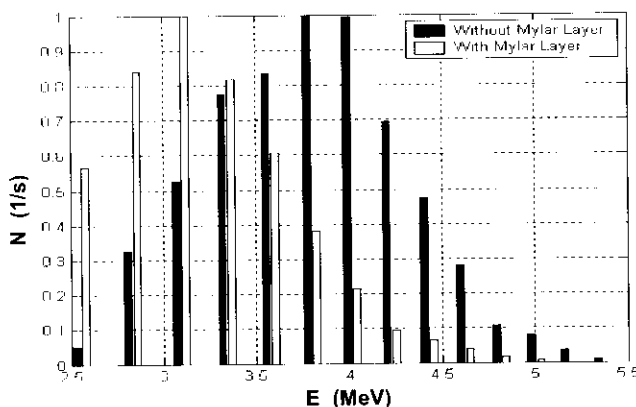




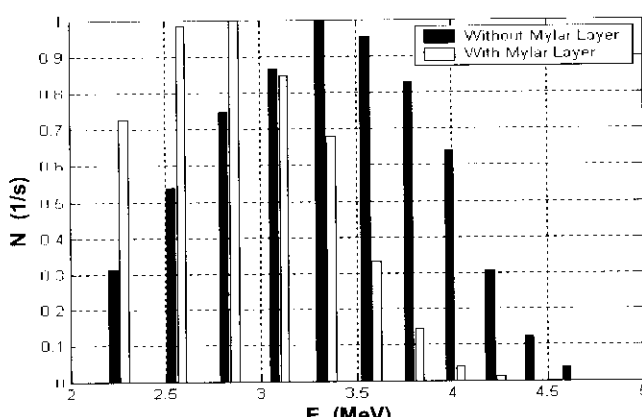
آکتیویته حدود  $16\text{ }\mu\text{Ci}$  داشت. انرژی واگذار شده از هر چشم، به محفظه یونش IMS با طولهای مختلف، حساب شد. سپس لایه‌ای از جنس میلار به ضخامت جرمی  $4\text{ mg/cm}^2$  بر روی هر چشم قرار گرفت و محاسبات تکرار شدند. نتایج این محاسبات در نمودارهای ۸ و ۹ نشان داده شده است.

لازم به ذکر است که روکش میلار مورد استفاده، به علت ضخامت جرمی کم، موجب کاهش آکتیویته نمی‌شود بلکه فقط انرژی ذرات آلفای خروجی را کاهش می‌دهد.

توزیع تقریبی انرژی چشم‌های ۱ و ۲، هم بدون روکش میلار و هم با روکش، به ترتیب در شکل‌های ۶ و ۷ نشان داده شده است. در هر شکل، قله هر دو نمودار ستونی، به تعداد یک در هر ثانیه بهنجار شده‌اند. لازم به ذکر است که این توزیع انرژی‌ها، به وسیله یک شمارنده معمولی آلفا بدست آمده‌اند. روش انجام این کار، توسط نگارنده‌گان این مقاله، در مرجع ۶ تشریح شده است. با استفاده از این توزیع انرژی‌ها، نمودار انرژی واگذار شده از چشم‌های بدون روکش و روکش دار میلار به محفظه یونش IMS، به ترتیب به صورت شکل‌های ۸ و ۹ خواهد بود.



شکل ۶- توزیع انرژی چشم شماره ۱ با روکش میلار و بدون روکش.



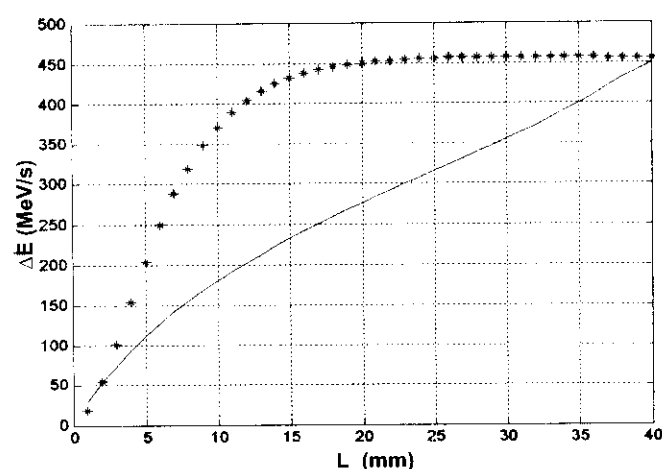
شکل ۷- توزیع انرژی چشم شماره ۲ با روکش میلار و بدون روکش.

را برای طولهای مطلوب دیگر نیز حساب کرد. در هر مورد، ضخامت روکش روی چشم باید به اندازه‌ای باشد که بُرد ذرات آلفای خروجی از چشم، برابر با طول مورد نظر برای محفظه یونش گردد. شکل ۵ نتایج را برای L های مختلف نشان می‌دهد. این شکل نشان می‌دهد که با ایجاد روکش میلار به ضخامت جرمی  $4\text{ mg/cm}^2$  بر روی یک چشم لخت Am-241، میزان نسبی یونیزاسیون در محفظه افزایش می‌یابد.

برای بدست آوردن نمودار شکل ۵ فرض شده است که ایجاد روکش، تنها انرژی ذرات آلفای خروجی را کاهش می‌دهد. اما در اثر ایجاد روکش، یک پهن‌شدگی<sup>(۶)</sup> نیز در توزیع انرژی وجود می‌آید و هرچه ضخامت روکش بیشتر شود، این پهن‌شدگی بیشتر خواهد شد. بنابراین هرچه طول محفظه یونش کاهش یابد، اعتبار اعداد بدست آمده کمتر خواهد شد. در عمل باید پس از ایجاد روکش، توزیع انرژی ذرات آلفای خروجی تعیین گردد و این توزیع انرژی در محاسبه انرژی واگذاری توسط چشم به محفظه یونش، بکار برد شود.

### ۳- کوچک‌سازی محفظه یونش IMS با چشم‌دارای روکش اولیه

دو چشم شماره ۱ و ۲، که در مقدار آکتیویته<sup>(۷)</sup> و نوع و ضخامت روکش اولیه، با هم تفاوت داشتند، مورد آزمایش قرار گرفتند (چشم‌های از سازمان انرژی اتمی، مرکز تهران تهیه شده بودند). آکتیویته آنها به وسیله یک شمارنده آلفا برآورد شد، ولی اطلاعاتی راجع به نوع و ضخامت روکش آنها در اختیار نبود. چشم شماره ۱ آکتیویته حدود  $7\text{ }\mu\text{Ci}$  و چشم شماره ۲ آکتیویته حدود  $16\text{ }\mu\text{Ci}$  داشتند.



شکل ۵- انرژی واگذار شده طوسط چشم‌های بدون روکش و با روکش، به محفظه یونش IMS با طولهای مختلف.



#### ۴- بحث و نتیجه‌گیری

کوتاه کردن محفظه یونش دستگاه IMS ناگزیر موجب کاهش میزان یونیزاسیون خواهد شد و این امر کاهش توان دستگاه را در تفکیک عاملهای شیمیایی گوناگون در پی خواهد داشت. اما استفاده از روکش با ضخامت مناسب، سبب می‌شود آنها در هوا، کاهش یونیزاسیون تا حدودی جبران شود. شکل ۵ این مطلب را بخوبی در مورد چشممهای بدون روکش نشان می‌دهد. شکل‌های ۸ و ۹ نیز برتری برای طولهای کمتر از ۲۰ و ۱۵ میلی‌متر مؤید این مطلب‌اند.

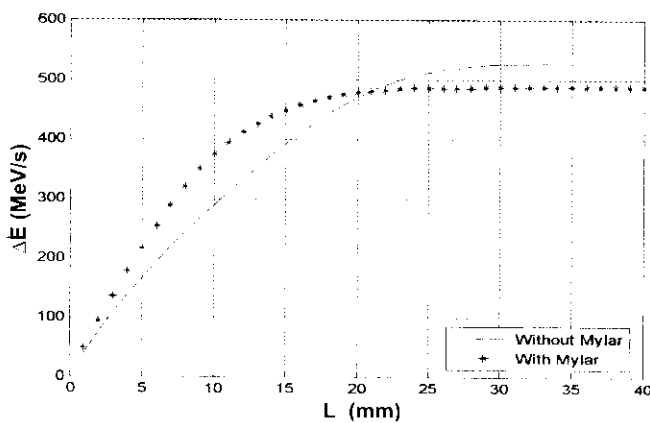
نتیجه دیگری که از نمودارهای ۸ و ۹ گرفته می‌شود این است که در مورد استفاده از چشممه های دارای روکش اولیه در دستگاه IMS، نیازی به استفاده از محفظه یونش ۴ سانتی‌متری نیست (کاری که به اشتباه در برخی از مراکز تحقیقاتی انجام می‌شود). چهار سانتی‌متر، تقریباً مناسب‌ترین طول برای محفظه یونش در حالتی است که در آن از چشممه لخت Am-241 برای یونیزاسیون استفاده شود. برای چشممهایی با روکش اولیه باید انرژی واگذار شده از چشممه به محفظه یونش، به ازای طولهای مختلف محفظه، حساب شود تا طول بهینه بدست آید. پس از یافتن طول بهینه، باید محفظه یونشی با این طول ساخته شود. حال اگر به هر دلیل، نیاز باشد که محفظه یونش از این طول بهینه کوتاه‌تر شود، ایجاد روکش با ضخامت مناسب باعث افزایش مقدار یونیزاسیون در محفظه یونش کوتاه شده خواهد شد.

#### تشکر و قدردانی

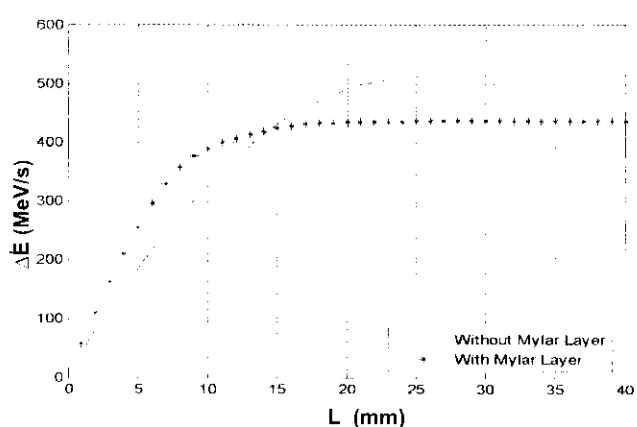
بدین وسیله از جانب آقای دکتر محمد لامعی به خاطر راهنمایی ایشان در تنظیم نمودارها تقدیر و تشکر می‌شود.

#### پی‌نوشت‌ها:

- ۱- Ion Mobility Spectrometry
- ۲- Bradbury – Nilsen – Shutter
- ۳- Aperture Grid
- ۴- Stopping Power
- ۵- Mylar (Poly Ethylene Triphthalat)
- ۶- Straggling
- ۷- Activity



شکل ۸- آهنگ انرژی واگذاری از طرف چشممه شماره ۱ به محفظه یونش .IMS



شکل ۹- آهنگ انرژی واگذاری از طرف چشممه شماره ۲ به محفظه یونش .IMS

نمودار مربوط به چشممه شماره ۱ (شکل ۸)، نشان می‌دهد که در صورت استفاده از این چشممه بدون روکش میلار، بهترین طول برای محفظه یونش، حدود  $L = 25$  mm است. حال اگر لازم باشد، محفظه یونشی که از این چشممه استفاده می‌کند، تا طول  $L < 25$  mm کوتاه گردد، به ازای  $L < 20$  mm ایجاد روکش سبب افزایش مقدار یونیزاسیون می‌شود.

نمودار مربوط به چشممه شماره ۲ (شکل ۹) نشان می‌دهد که در صورت استفاده از این چشممه بدون روکش میلار، با کاهش طول محفظه یونش از مقدار  $L_0 = 40$  mm تا حدود  $L = 25$  mm هیچ کاهش قابل توجهی در میزان یونیزاسیون مشاهده نمی‌شود و در  $L = 25$  mm مناسب‌ترین طول برای محفظه یونش، در این حالت است. اگر بخواهیم طول محفظه یونش یک دستگاه IMS را که در آن از این چشممه استفاده می‌شود، به کمتر از  $L < 15$  mm کاهش دهیم، به ازای  $L < 15$  mm، ایجاد روکش میلار برآروی چشممه سبب افزایش مقدار یونیزاسیون خواهد شد.



## Archive of SID References:

1. G.A. Eiceman and Z. Arpas, "Ion mobility spectrometry," CRC Press (1994).
2. R. Schnurpfeil (Bremen, DE) and S. Klepel (Taucha, DE), United State Patent, Patent number 6064070 (May 16, 2000).
3. G.F. Knoll, "Radiation detection and measurement," John Wiley & Sons, 9 (1988).
4. H.H. Andersen and J.F. Ziegler, "Hydrogen: stopping powers and ranges in all elements," The Stopping and Ranges of Ions in Matter, 3, Pergamon Press, Elmsford, New York (1977).
5. A. Nazarov and D. Thierry, "Rate determining mractions of atmospheric corrosion," Electrochimica Acta, Volume 49, Issues 17-18, 2717-2724 (30 July 2004).
6. A. Tavassoli, M. Salehkootahi, F. Payervand, "Determination the spectrum of alpha source of the NDCAM detector with an ordinary alpha counter," 2<sup>nd</sup> International Conference On Nuclear Science and Technology, 36, April 27-30 (2004).